

## Study of the Effect of Irradiation on Some Optical Properties of Cadmium Oxide Films Prepared by the Thermal Chemical Spraying Method

M. S. Sinjar<sup>(1)</sup>, M. A. Al-Jubbori<sup>(2)\*</sup>, H. H. Algdirree<sup>(3)</sup>

<sup>(1, 2)</sup>Department of Physics, College of Education for Pure Science, University of Mosul, Mosul, Iraq

<sup>(3)</sup>Department of Physics, Faculty of Science, University of Zawia, Zawia, Libya

### Article information

#### Article history:

Received: October 13, 2024

Revised: December 05, 2024

Accepted: December 10, 2024

Available online: April 01, 2024

#### Keywords:

Spray Pyrolysis Technology

Cadmium Oxide

Optical Constants

Irradiation

#### Correspondence:

Mushtaq Abed Al-Jubbori

[mushtaq\\_phy@uomosul.edu.iq](mailto:mushtaq_phy@uomosul.edu.iq)

### Abstract

In this study, thin films of cadmium oxide (CdO) were synthesized using the chemical thermal decomposition method. The films were deposited onto a glass substrate measuring 2.5 cm x 2.5 cm x 1 mm at a temperature of 400°C and a pressure of 2 bars. A total of 20 spray applications were performed, with each spray lasting approximately 10 seconds, and a 180-second interval between sprays. A dedicated chemical decomposition system was established to facilitate the preparation of thin film materials for this research. Subsequently, the prepared films were subjected to ultraviolet (UV) light irradiation for a total of five hours, with each irradiation session lasting one hour. Absorbance and transmittance spectra were recorded after each hour of irradiation across a wavelength range of 350-950 nm using a UV-VIS Double Beam Spectrophotometer. The results indicated that absorbance varied with wavelength, showing a decrease in the absorbance spectrum as irradiation time increased, reaching its minimum at the end of the fifth hour. Conversely, transmittance exhibited a direct increase with longer irradiation durations. Additionally, it was observed that the energy gap decreases with increasing irradiation time, ranging from 2.511 eV to 2.458 eV over the 0 to 5-hour period, with measurements taken at one-hour intervals. The analysis of certain optical constants revealed a decline in the absorption coefficient, extinction coefficient and refractive index as irradiation time increased.

DOI: [10.33899/edusj.2024.154469.1511](https://doi.org/10.33899/edusj.2024.154469.1511), ©Authors, 2025, College of Education for Pure Science, University of Mosul.

This is an open access article under the CC BY 4.0 license (<http://creativecommons.org/licenses/by/4.0/>).

### 1. المقدمة

تم ايلاء الكثير من الاهتمام من قبل الباحثين والعلماء لإيجاد طرق لزيادة كفاءة الأجهزة والأدوات الإلكترونية وخفض كلفة إنتاجها وجعلها في متناول الجميع، بحيث يمكن أن تكون قابلة للتسويق بسهولة. إحدى الطرق لتحقيق ذلك هي استخدام الأغشية الرقيقة بدلاً من البلورات المفردة السائبة لمثل هذه الأجهزة [1]. بعد توجه الشركات والمؤسسات لتقنية الأغشية الرقيقة اهتم الباحثون في هذا المجال إلى تطوير طرق تحضيرها وتقليل تكاليف إنتاجها، ومن بين الطرق السهلة طريقة الترسيب الكيميائي الحراري [2-4]، وهي أرخص تقنية معروفة لإعداد الأغشية الرقيقة. وفي الآونة الأخيرة تم استخدام هذه الطريقة على نطاق واسع من قبل العديد من الباحثين لترسيب الأغشية من المعادن [5-7]، وقد ثبت أن العديد من هذه الأغشية ذات جودة مماثلة لتلك المنتجة بطرق أخرى متطرفة ومكلفة [8].

تتمتع الأغشية الرقيقة لأكسيد المعادن بمجموعة متنوعة من الاستخدامات كما في الأجهزة البصرية والحرارية والإلكترونية وأجهزة الطاقة الشمسية وغيرها من التطبيقات [9]. وعلى وجه الخصوص، فقد جنبت أغشية أوكسيد الموصل الشفاف (Transparent Conductive Oxide TCO) مؤخراً اهتماماً بحثياً عميقاً، تم استخدام انكسارها العالي في منطقة الأشعة تحت الحمراء مع الشفافية العالية في المنطقة المرئية لصناعة مرايا حرارية [10]، والخصائص الكهربائية لهذه الأغشية مناسبة للشاشات المضيئة، وقد تم استغلال الموصلية العالية للأغشية في تصنيع خلايا شمسية كبيرة الحجم وعالية الكفاءة.

توفر مجموعة متنوعة من الطرق لترسيب أغشية (Transparent Conductive Oxide TCO)، مثل الرش، والترسيب الكيميائي للبخار، والترسيب الفيزيائي للبخار، وما إلى ذلك. وعلى الرغم من أن هذه الطرق لها بعض المزايا على تقييد نمو المحلول، إلا أن الأخيرة تحتاج إلى اهتمام أولوي من حيث تكاليف الإنتاج [11-13].

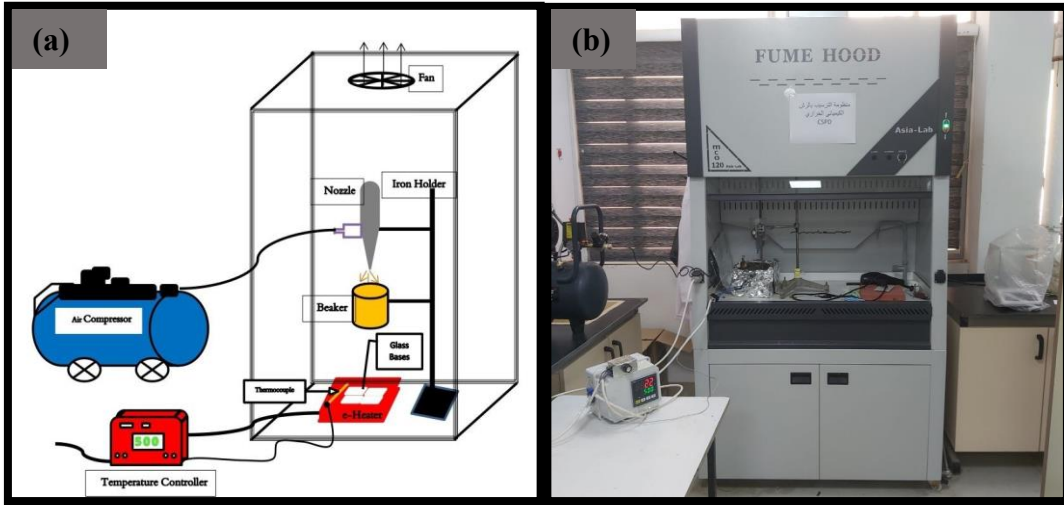
ومن بين الأكسيدات المهمة في هذا المجال هو أوكسيد الكadmيوم ( $CdO$ ) والذي هو من أشباه الموصلات من النوع (n) [14]. يوجد أوكسيد الكadmيوم في الطبيعة إما على شكل بلوري أو مركب عشوائي، والبنية البلورية لأوكسيد الكadmيوم مكعبية (Face Centered Cubic FCC)، والتي لها العديد من الخصائص المهمة،

مثل فجوة النطاق الكبيرة، والكتافة العالية ( $8.15 \text{ gm/cm}^3$ )، والمقاومة الكهربائية المنخفضة [15]، والنفاذية العالية في المنطقة المرئية [16]. بناءً على هذه الخصائص، هناك العديد من التطبيقات لأوكسيد الكadmيوم، مثل الخلية الشمسية [17]، والمضخمات الضوئية [18]، والمحفزات [19]، والأقطاب الشفافة، وأجهزة استشعار الغاز [20]، والصمامات الثنائية الضوئية [21]، والأجهزة الكهروضوئية [22]. يتم ترسيب الأغشية الرقيقة من أوكسيد الكadmيوم بطريق مختلف بما في ذلك هلام السول، وامتصاص الطبقة الأيونية المتعاقبة والتفاعل (SILAR)، وترسيب الليزر النبضي، والرش الكيميائي والتحلل الحراري [23-25]، والطريقة الميكانيكية الكيميائية [26]، وبهدف البحث إلى دراسة الخصائص البصرية وحساب فجوة الطاقة لأغشية أوكسيد الكadmيوم المحضرة بطريق التحلل الحراري الكيميائي بالرش عند درجة حرارة  $400^\circ\text{C}$  وبيان تأثير التشيع بالأشعة فوق البنفسجية على تلك الخصائص.

## 2. الجزء العلمي

### 2.1 منظومة التحلل الكيميائي الحراري

ت تكون هذه المنظومة (محلية الصنع) والتي توجد في مختبر البحوث النووية الاولى، جامعة الموصل، من عدد من الاجزاء البسيطة المرتبة بشكل يمكن من خلالها تحضير الأغشية الرقيقة ذات مواصفات جيدة وبmediات سمك متقاربة كما هو موضح بالشكل (1). تتكون المنظومة من الأجزاء التالية:



الشكل (1): (a) مخطط لمنظومة التحلل الحراري الكيميائي بالرش (b) صورة فوتوغرافية للمنظومة

#### 2.1.1 جهاز الرش:

بعد جهاز الرش من أهم أجزاءمنظومة التحلل الحراري الكيميائي بالرش، إذ يتم تصنيعه محلياً من الزجاج الاعتيادي، ويحتوي على خزان يوضع فيه محلول ويستوعب حوالي (100ml) ويكون مفتوحاً من الأعلى بفتحة نصف قطرها (2cm) وارتفاعها (12.5cm) ولله صمام الغرض منه التحكم بمقدار محلول النازل إلى أنبوبة شعرية قطرها (0.1cm) وطولها (8cm)، وتحاط هذه الأنبوة بغرفة زجاجية منتفخة ذات شكل مخروطي مغلقة من الأعلى لاتصالها بالأنبوبة الشعرية ومفتوحة من الأسفل، وإن فتحة هذه الغرفة من الأعلى تحيط بفتحة الأنبوبة الشعرية بنفس المستوى وتزود هذه الغرفة الهوائية بفتحة جانبية ليسنى دخول الهواء المضغوط ومن ثم يخرج الهواء من الفتحة السفلية فيمتزج محلول الخارج مع الهواء المضغوط ليكون بشكل رذاذ وعلى هياكل مخروط رأسه عند الأنبوبة الشعرية وقاعدته إلى الأسفل باتجاه الصفيحة الساخنة المراد ترسيب الأغشية عليها، ويبلغ طول جهاز الرش كل حوالي (26cm).

#### 2.1.2 ضاغطة الهواء:

اما الجزء الثاني منمنظومة الترسيب فهي ضاغطة الهواء (Air compressor) تستعمل لغرض توفير الهواء الذي ينتقل الى جهاز الرش بواسطة أنبوبة بلاستيكية بقطر (0.4cm)، اذ يتم التحكم بضغط الهواء المندفع عن طريق منظم ضغط الهواء الموجود في الضاغطة فضلاً عن وجود صمام لفقي الهواء وفتحه وهو متصل بالأنبوبة، وكذلك صمام لتقليل ضغط الهواء أو تنبيه على ضغط معين عند الرش.

#### 2.1.3 السخان الكهربائي:

اما الجزء الثالث للمنظومة فهو مسخن القاعدة (Heater) اذ يستعمل لغرض تسخين القاعدة التي توضع عليها العينة الى درجة حرارة معينة (تم تجميع اجزاء السخان بدوياً لغرض الحصول على الدرجة الحرارية المطلوبة) يتم ضبطه بحسب ظروف التحضير، اذ يتم ربط هذا المسخن مع الكونتريول (متحكم) في تشغيله وإطفائه، وبالتالي يمكن السيطرة على درجة حرارة القواعد للأغشية المحضرة خلال عملية الترسيب. ويجب غسل المسخن وتنظيفه بين عملية ترسيب وأخرى لتجنب تلوث العينات المحضرة من بقايا بخار المادة التي تم ترسيبها داخل غرفة الترسيب أثناء تحولها الى رذاذ.

#### 2.1.4 جهاز التحكم بدرجة الحرارة:

يقوم هذا الجزء منمنظومة بالتحكم بدرجة حرارة سطح السخان الكهربائي ويقوم بقطع التيار الكهربائي عند وصول درجة حرارة العينات الى الدرجة الحرارية المطلوبة، حيث يكون متصلة بمصدر للتيار الكهربائي من جهة والسخان من جهة أخرى. ويحتوي جهاز التحكم على شاشة صغيرة مربعة ذات خلفية سوداء تتضمن رقمين، الرقم الذي في الأعلى أحمر اللون ويمثل الحرارة التي يتم قياسها وهي حرارة المسخن اما الرقم الذي في الأسفل فيكون اخضر اللون، ويتم التحكم به بواسطة زر يقع اسفل الشاشة ويمثل الحرارة المثبتة المراد الترسيب عدتها. ويحتوي كذلك على عتلة يمكن تدوريها على تدريجة من 0 الى 10. مهمة هذه العتلة هي

تغبير التيار الكهربائي المار في اسلام المسخن وبالتالي تحديد سرعة ارتفاع درجة حرارة المسخن ويقطع التيار الكهربائي من خلال المذووج الملائق لسطح المسخن عند وصول درجة حرارة سطح المسخن الى الدرجة الحرارة المطلوبة.

## 2.2 تحضير المحلول والأغشية الريقية

### **2.2.1 تحضير محلول اوكسيد الكالميوم**

يتم تحضير محلول مادة أوكسيد الكالديميوم (CdO) باستخدام مركب خلات الكالديميوم الثنائي المائي، وهي مادة تكون على شكل مسحوق أبيض رمزها الكيميائي ( $CH_3COO)_2Cd_2H_2O$ ) امريكي المنتشر والمجهز من قبل شركة (SIGMA) وزنها الجزيئي (266.53)gm/mol (M=0.1) وبدرجة حرارة الغرفة يتم اذابة (2.66)gm من خلات الكالديميوم الثنائي المائي (المعادلة الكيميائية الموزونة ادناء)، ولحساب الكثافة يستخدم ميزان الكتروني من نوع (SF-400C) حساس تبلغ حساسيته (10<sup>-2</sup>)gm لضيق المادة في (100ml) من الماء المقطر ومن ثم يتم خلط المادتين بشكل جيد وذلك باستخدام الخلط المغناطيسي Magnetic Stirrer ولمدة (10)min وذلك لضمان تجانس المحلول، فتحصل على محلول عديم اللون، ثم يتم وضع المحلول في قمع زجاجي يحتوي على ورقه الترشيح للتخلص من الرواسب المحتملة، ويجمع المحلول المرشح في دورق زجاجي ليتم اضافته في ما بعد الى الوعاء الخاص لجهاز الرش (التوزل). المعادلة الكيميائية الموزونة (2).....  

$$(CH_3COO)_2Cd_2H_2O \rightarrow CdO + 2CH_3COOH + H_2O$$

ولحصول على الوزن المراد إذاته نستخدم العلاقة التالية [27]:

إذ أن  $M$  التركيز المولاري،  $M_i$  كتلة مادة خلات الكادميوم الثنائي المائي،  $M_{wt}$  الوزن الجزيئي للمادة،  $V$  حجم الماء المقطر.

استخدمت في هذا البحث قواعد زجاجية (substrates) ذات منشأ صيني وبأبعاد  $2.5\text{cm} \times 2.5\text{cm} \times 1\text{mm}$  (2.5cm × 2.5cm × 1mm) بعد ان يتم تنظيفها جيداً وغسلها بالماء المقطر لمدة 3min وذلك للتخلص من الاوساخ القليلية، بعد ذلك يتم رفع القواعد الزجاجية باستخدام ملفت خاص ووضعها في دورق يحتوي على مادة كحول الاسبريتون ووضعها في جهاز الامواج فوق الصوتية (ULTRASONIC CLEANER) ولمدة 15 min (35°C) وذلك للتخلص من الاوساخ غير القالبانية المستعصية ومن ثم تغسل بالماء المقطر أيضاً لمدة 3min. ثم تجفف العينات جيداً باستخدام ورق خاص بالتجفيف وقطعة نسيج خاصة بتنظيف العدسات مع هواء ساخن وبعد ذلك يتم حساب وزن كل قاعدة باستخدام ميزان حساس جداً حيث درجة حساسيته  $10^{-4}\text{gm}$  (صيني المنشأ من نوع Analytical Balance) المجمعن قل شركه (IOANLAB) ومن ثم تسخن الاوزان على العلية لكل عينة وذلك لغرض معرفة سعر الأغشية المحضر فيما بعد بالطريقة الوزنية.

٢٢٣ تدبّر الاغاثة الى دقيقة

بعد اكتمال عملية تنظيف القواعد الزجاجية يتم تهويتها للترسيب وذلك من خلال وضعها على سطح المسخن الكهربائي والذي يتم تشغيله حسب شروط التشغيل المبينة ادناه للحصول على أغشية رقيقة متجلسة، ومتما斯كة مع القاعدة الزجاجية من أوكسيد الكadmيوم ( $CdO$ )، زمن الترسيب (sec) (10)، معدل الترسيب المستخدم (mL/min) (4)، فترة التوقف بعد كل رشة (sec) (180)، المسافة العمودية من فوهة جهاز الرش الى القواعد (cm) (30)، درجة حرارة القواعد الزجاجية (°C) (400)، عدد الرشات (20) رشة وضغط الهواء (bar) (2).

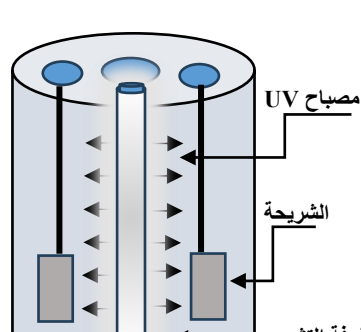
224 قيادة الاعشرة الى فرق

بعد ان تتم عملية ترسيب جميع الاغشية الرقيقة على القواعد الزجاجية يُعاد حساب وزن القواعد من جديد وذلك لغرض الحصول على سماكة سمك الااغشية.

اذ ان: (t) سماكة الغشاء، ( $\Delta W$ ) الفرق في الوزن قبل وبعد الرش، ( $\rho$ ) كثافة مادة الغشاء ( $gm/cm^3$ ), (A) مساحة الغشاء ( $cm^2$ ). من خلال ايجاد الفرق في الوزن نتبين ان سماكة الاغشية المحضرة كان بحدود  $20 \pm 335nm$  تقريباً، كما تمت جميع القياسات البصرية باستخدام جهاز المطياف البصري (UV-1800) والمجهز من قبل شركة Shimadzu (Shimadzu) والذي يعمل في نطاق الاطوال الموجية 190-1100nm.

عملية التشريع 2.2.5

بعد اكتمال عملية الترسيب والحصول على العينات المرسبة يتم قراءة طيفي الامتصاصية والنفاذية قبل عملية التشيع ومن ثم تُشعَّ العينات المحضرَة لفترة زمنية تتراوح hr (1-5) بزيادة تتابعة hr 1 ومن ثم تؤخذ الامتصاصية والنفاذية لكل ساعة تشيع باستخدام منظومة التشيع المتكونة من غرفة مظلمة اسطوانية الشكل بقطر (16cm) وارتفاع (50cm) ومصباح الموجة فوق الصوتية (UV LAMP 6W) ذي ضوء ابيض ثلاثي اللون طول المصباح (215mm) يعمل على فولطية (230V) بتردد (50/60 Hz) وبقدرة (6watt). تعلق العينات بصورة عمودية على جانبي المصباح بحيث يكون سطح العينة التي تم الترسيب عليه مواجهاً للمصباح وتحتوى داخل الغرفة المظلمة وتنقى، داخل الغرفة حسب مدة التشيع المطلوبة كما في الشكل 2.



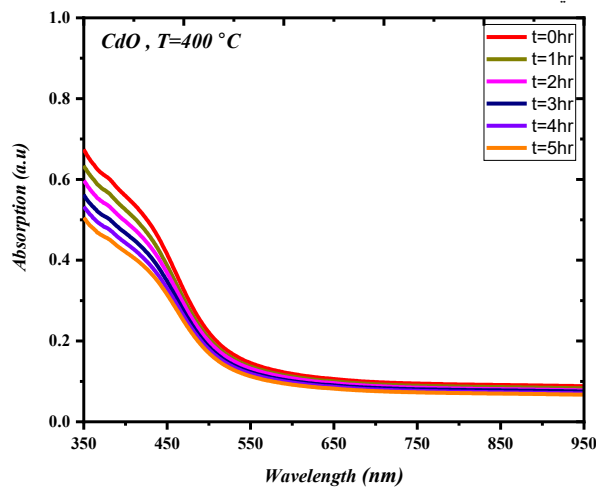


الشكل (2): (a) صورة فوتوغرافية لعملية التشيع . (b) مخطط لمنظومة التشيع

### 3. النتائج والمناقشة

#### 3.1. الامتصاصية والانعكاسية

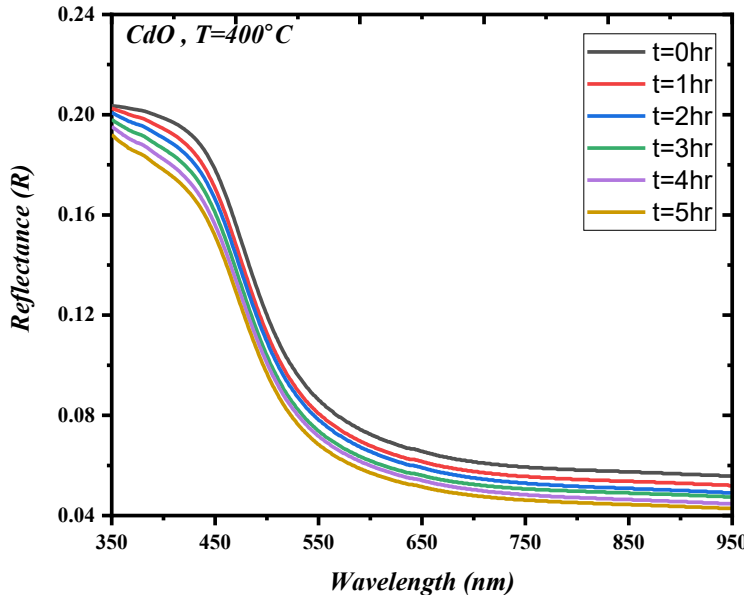
تم حساب قيم طيف الامتصاصية لأغشية اوكسيد الكادميوم(CdO) للأطوال الموجية ضمن المدى (350-950nm)، وظهر أنَّ الامتصاصية تتغير مع الطول الموجي، إذ نلاحظ أنَّ الامتصاصية تسلك سلوكاً معاكساً للنفاذية، إذ تبدأ بأعلى قيمة لها عند الطول الموجي nm(350) ومن ثم يبدأ طيف الامتصاصية بالانحدار الاسي مع زيادة الطول الموجي إلى أن يصل إلى أدنى قيمة عند الطول الموجي (750nm)، وبعدها يلاحظ ان قيمة طيف الامتصاصية تكون ثلاثة ضمن المدى (700-950nm) كما موضح بالشكل(3)، بسبب قلة طاقة الفوتونات الساقطة وعدم قدرتها على رفع الالكترونات من حرمة التكافؤ الى حرمة التوصيل، إذ تكون العلاقة عكسية ما بين الطول الموجي وطاقة الفوتون، وتفسير ذلك فيزيائياً هو أنَّ الفوتون الساقط لم يستطع تهيج الالكترون ونقله من حرمة التكافؤ الى حرمة التوصيل، لأنَّ طاقة الفوتون الساقط أقل من قيمة فجوة الطاقة لغشاء (CdO) ولها أقل الامتصاصية بزيادة الطول الموجي [29].  
نلاحظ ايضاً نقصان الامتصاصية بزيادة زمن التشيع وذلك لكون الاشعة فوق البنفسجية تمتلك طاقة عالية نسبياً فلا تضفي فوتوناتها فترة زمنية كافية كي تتفاعل مع التركيب الداخلي للغشاء المحضر وبالتالي عند امتصاص الكترونات هذا الغشاء لطاقة الاشعة فوق البنفسجية تبتعد عن بعضها البعض نوعاً ما.



الشكل(3) طيف الامتصاص كدالة للطول الموجي لأغشية اوكسيد الكادميوم (CdO) بعد التشيع  
اما الانعكاسية(R) فتم حسابها بالاعتماد على طيف النفاذية (T) وطيف الامتصاصية (A) بموجب قانون حفظ الطاقة بحسب المعادلة التالية [30].

$$A + T + R = 1 \quad \dots \dots \dots \quad (3)$$

ويوضح الشكل (4) الانعكاسية كدالة للطول الموجي لأغشية (CdO) المحضره بعد تشيع خمس ساعات، نلاحظ من الشكل أن الانعكاسية على العكس من النفاذية أنها تغيرت ايضاً مع زيادة زمن التشيع إذ إنَّ اكبر قيمة لانعكاسية تم الحصول عليها كانت عند t=0hr واقل انعكاسية كانت عند t=5hr.



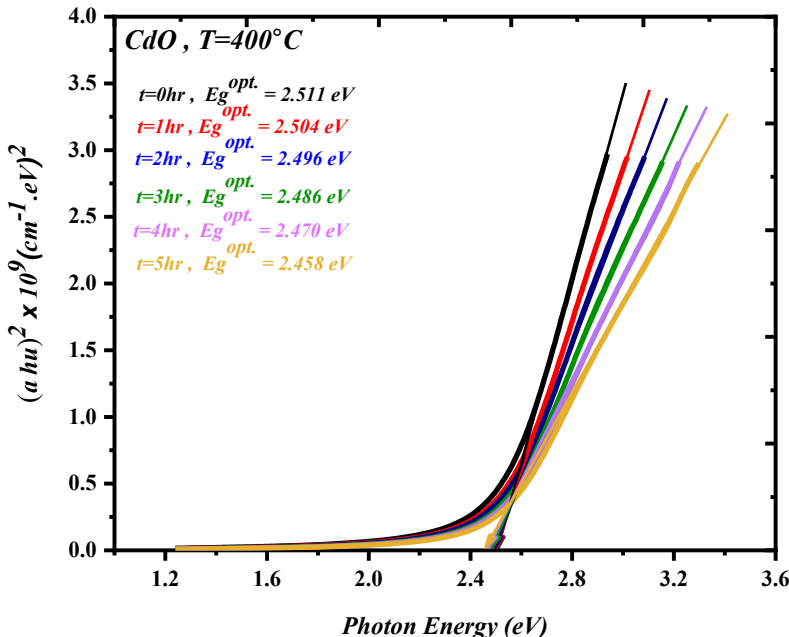
شكل (4) طيف الانعكاسية كدالة للطول الموجي لاغشية أوكسيد الكادميوم (CdO) بعد التشعيع

### 3.2 فجوة الطاقة البصرية

تم حساب فجوة الطاقة البصرية ( $E_g$ ) باستخدام معادلة (4) [31]. من خلال رسم أفضل امتداد لخط مستقيم بعد حافة الامتصاص الأساسية لقطع محور طاقة الفوتون عند  $\alpha(hv) = 0$  يتم حساب فجوة الطاقة البصرية للانتقالات الالكترونية المباشرة لاغشية (CdO) كما في الشكل(5) اذ يوضح علاقه $^2$  ( $\alpha(hv)$ ) مع قيمة لطاقة الفوتون الساقط، حيث وجد أن قيمة فجوة الطاقة البصرية للأغشية المرتبطة  $E_g = 2.511 \text{ eV}$  عند زمن التشعيع  $t=0\text{hr}$  بينما عند  $t=5\text{hr}$  فقد وجد أن فجوة الطاقة البصرية نقل بزيادة زمن التشعيع إلى أن تصل  $E_g = 2.458 \text{ eV}$  وبسبب هذا النقصان في فجوة الطاقة البصرية هو عند زيادة زمن التشعيع يسبب تقارب حزمة التكافؤ من حزمة التوصيل وهذا يعتبر جيد لتحسين خصائص الاكاسيد [27].

$$(\alpha(hv)) = B(hv - E_g)^r \dots \dots \dots \dots \dots \dots \dots \quad (4)$$

اذ ان:  $\alpha$ : معامل الامتصاص،  $B$ : ثابت،  $E_g$ : فجوة الطاقة البصرية،  $r$ : ثابت يعتمد على نوع الانتقالات الالكترونية و  $h$ : ثابت بلانك.



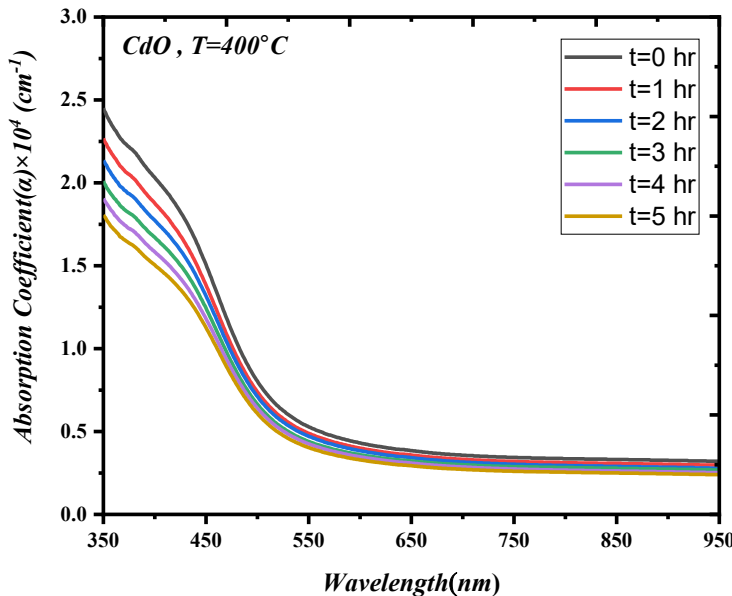
الشكل (5) قيم فجوة الطاقة البصرية لاغشية (CdO) كدالة لطاقة الفوتون.

### 3.3. معاملات الامتصاص والخmod والانكسار

معامل الامتصاص هو مقياس لقدرة المادة على امتصاص الضوء. ويعتمد معامل الامتصاص على سلوك طيف الامتصاصية ويعتمد كذلك على طاقة الفوتون الساقط ( $hv$ ) وعلى خواص شبه الموصل من حيث فجوه الطاقة ونوع الانقلالات الالكترونية، ويقاس بمثقب وحدة الطول الموجي ( $\text{cm}^{-1}$ ). تم حساب معاملات الامتصاص لأغشية أوكسيد الكادميوم من المعادلة الآتية [32] :

$$\alpha = 2.303 \frac{A}{t} \quad \dots \dots \dots \dots \dots \dots \quad (5)$$

اذ ان  $A$  الامتصاصية و  $t$  سمك الغشاء وفي دراستنا كان السمك  $20 \pm 335 \text{ nm}$ . يبين الشكل (6) تغير معامل الامتصاص كدالة للطول الموجي للأغشية أوكسيد الكادميوم ولجميع أزمان التشعيع، إذ نلاحظ قيم معامل الامتصاص لأغشية أوكسيد الكادميوم على حيث أن  $\alpha > 10^4 \text{ cm}^{-1}$  عند حافة الامتصاص وهذا يساعد على توقع حدوث انقلالات إلكترونية مباشرة مسموحة، ان قيم معامل الامتصاص تقل بزيادة زمن التشعيع مما يدل على زيادة في تبلور الأغشية المحضرة وتقليل للعيوب البلورية.



الشكل(6): معامل الامتصاص دالة للطول الموجي للأغشية أوكسيد الكادميوم (CdO).

اما معامل الخmod (K) فهو يمثل الخmod الحاصل للموجة الكهرومغناطيسية داخل المادة وهو كمية ما تمتصلة الكترونات المادة من طاقة الفوتونات الساقطة. تم حساب معامل الخmod للأغشية المحضرة وفق المعادلة الآتية [33].

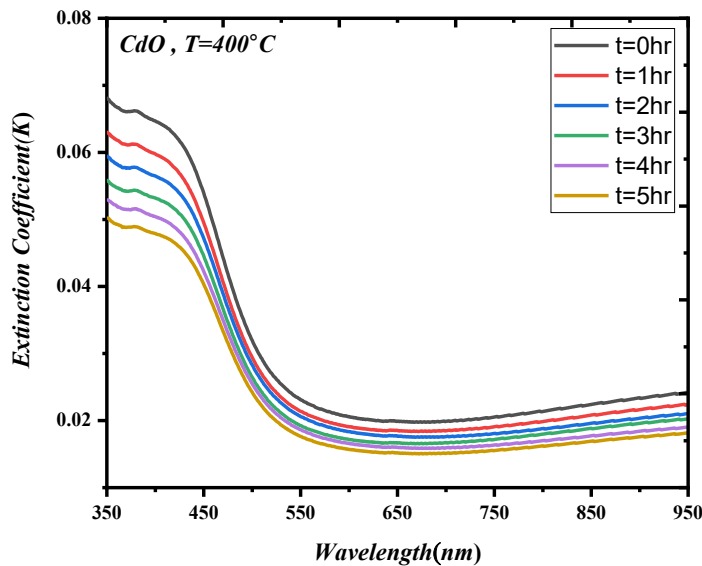
$$K = \frac{\alpha \lambda}{4\pi} \quad \dots \dots \dots \dots \dots \dots \quad (6)$$

ومن الشكل (7) الذي يمثل تغير معامل الخmod كدالة للطول الموجي للأغشية أوكسيد الكادميوم ان سلوك منحنيات معامل الخmod مشابه تقريباً لسلوك معامل الامتصاص بسبب ارتباط العلاقة بينهما، اذ يقل معامل الخmod مع زمن التشعيع.

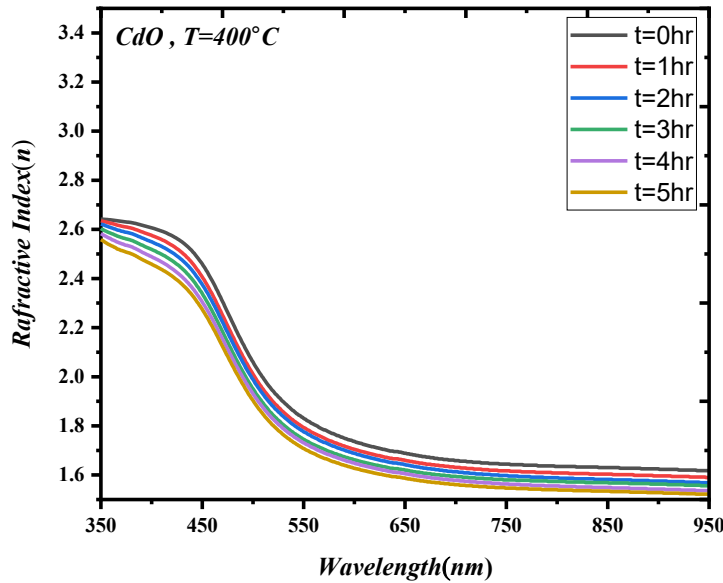
اما فيما يخص معامل الانكسار (n) فهو النسبة بين سرعة الضوء في الفراغ الى سرعته داخل المادة، ويعتمد معامل الانكسار على عدة عوامل منها نوع المادة وتركيبها البلوري، اذ تم حساب معامل الانكسار لأغشية اوكسيد الكادميوم (CdO) حسب العلاقة[34].

$$n = \sqrt{\frac{4R}{(R-1)^2 - K^2} - \left(\frac{R+1}{R-1}\right)} \quad \dots \dots \dots \dots \dots \dots \quad (7)$$

من الشكل (8) يتضح ان طبيعة منحنيات معامل الانكسار مشابه لمنحنيات الانعكاسية وذلك لارتباط الانعكاسية مع معامل الانكسار وفقاً للمعادلة المذكورة افأ، اذ نلاحظ انخفاضاً في منحنيات قيم معامل الانكسار عند زيادة زمن التشعيع في المنطقة المرئية من الاطوال الموجية وأن هذا التغير في منحنيات معامل الانكسار نتيجة لزيادة التشعيع كان نتائجة لطريقة تجمع حبيبات هذه الأغشية ونموها مما انعكس على كثافة هذه الأغشية.

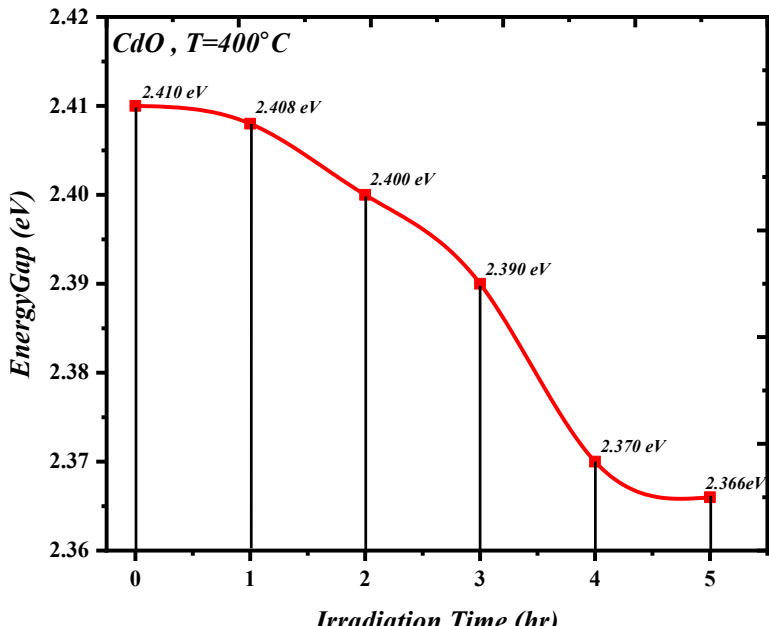


الشكل(7): معامل الخمود كدالة للطول الموجي لأغشية أوكسيد الكادميوم (CdO).



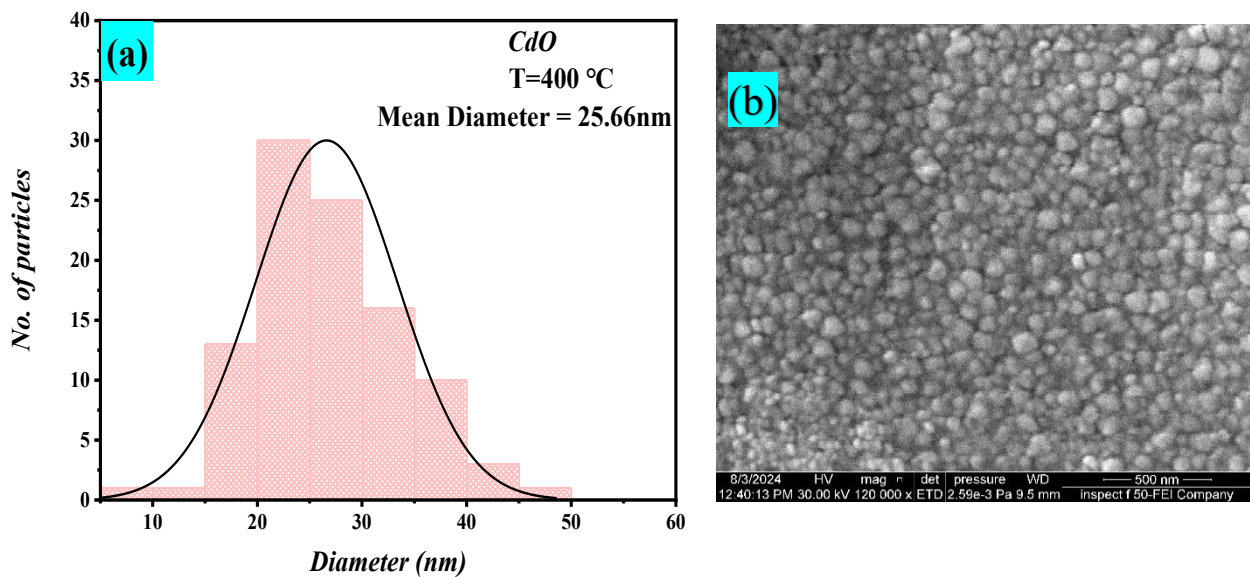
الشكل(8): يوضح معامل الانكسار كدالة للطول الموجي لأغشية أوكسيد الكادميوم (CdO).

اما الشكل 9 فإنه يوضح العلاقة بين فجوة الطاقة و زمن التشعيع حيث نلاحظ نقصان فجوة الطاقة مع زيادة زمن التشعيع وكانت اعلى قيمة لفجوة الطاقة عند t=5hr و ادنى قيمة عند t=0hr.



الشكل(9): العلاقة بين طاقة الفجوة و زمن التشعيع لاغشية أوكسيد الكادميوم (CdO).

ومن خلال صور المجهر الإلكتروني الماسح SEM لغشاء أوكسيد الكادميوم المحضر بطريقة التحلل الحراري الكيميائي بالرش عند درجة C 400 لدراسة مورفولوجيا سطح الغشاء تبين ان معدل قطر الحبيبات هو (25.66nm) كما في الشكل(10)



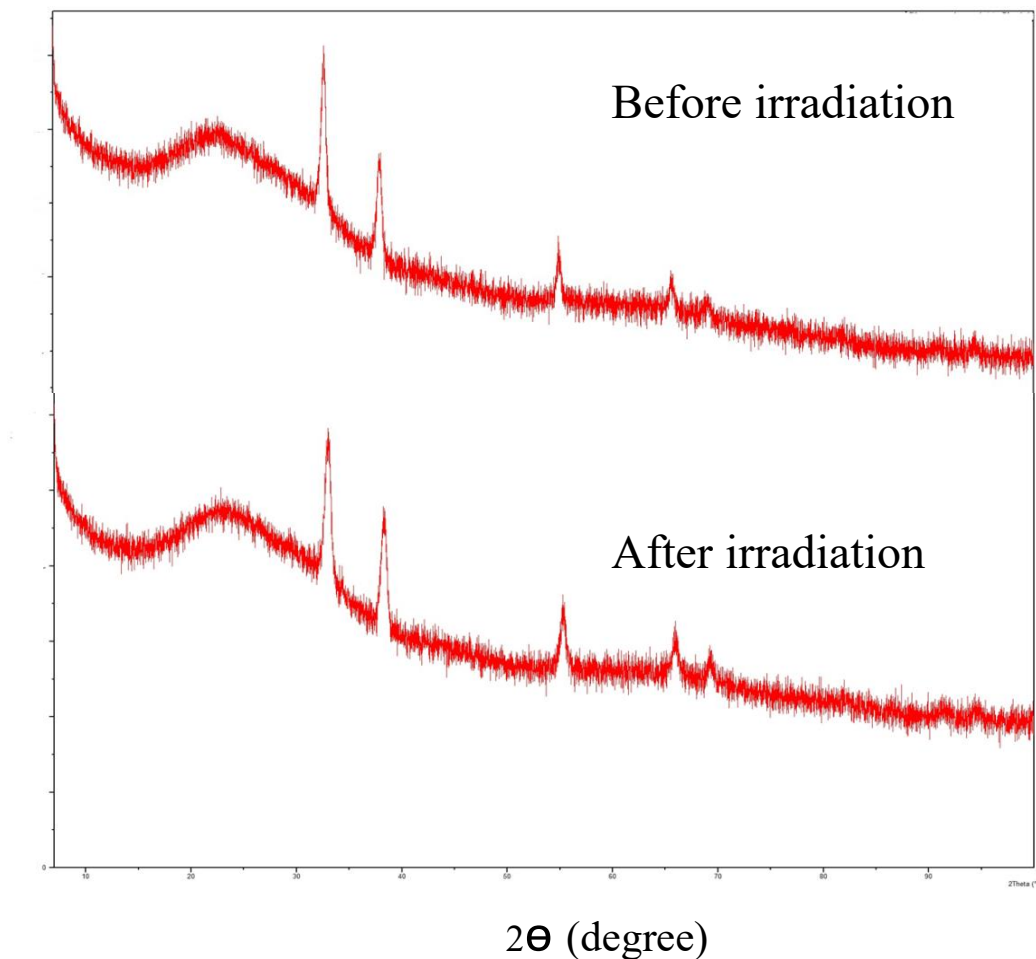
الشكل (10): (a)مخطط توزيع الأقطار لغشاء CdO (b) صورة المجهر الإلكتروني الماسح

#### 3.4 نتائج حيود الأشعة السينية XRD

من خلال التشخيص بتقنية حيود الأشعة السينية (XRD) لاغشية أوكسيد الكادميوم المحضره بطريقة التحلل الحراري الكيميائي بالرش وبدرجة حرارة 400°C أظهرت النتائج ان بلورات المادة من النوع المكعب [35]، ومن خلال فحص وتحليل نمط حيود الأشعة السينية تم معرفة موقع القمم (Peaks). اذ نلاحظ من خلال الجدول (1) ظهور القمم عند المستويات وعند الزوايا الموضحة امام كل مستوى والتي تعود لغشاء أوكسيد الكادميوم قبل وبعد عملية التشعيع، وعند مقارنة هذا النمط مع البطاقات الخاصة للعناصر وجد ان هناك تطابقاً جيداً مع النتائج التي تم الحصول عليها. وبعد تشعيع الغشاء بالأشعة فوق البنفسجية نلاحظ هناك إزاحة ضئيلة للقمم نحو اليمين في حالة التشعيع كما يظهر من خلال الشكل(11).

جدول (1): نتائج XRD لأوكسيد الكادميوم

No.	hkl	20°	
		Before irradiation	After irradiation
1	111	32.803	33.012
2	020	38.059	38.303
3	022	54.917	55.285
4	131	65.462	65.918
5	222	68.768	69.253
6	040	81.401	82.011

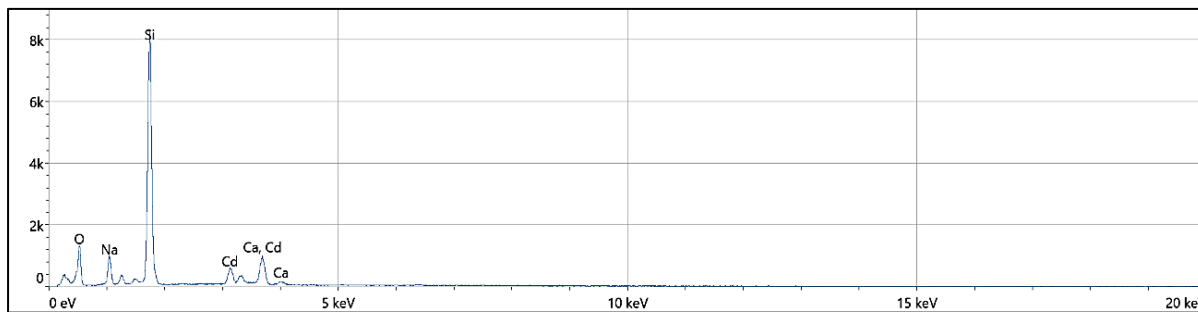


الشكل (11): حيود XRD لغشاء أوكسيد الكادميوم قبل وبعد التشعيع

### 3.5 نتائج فحوصات EDX

من خلال نتائج قياسات EDX لاكتشاف النسبة المئوية للعناصر في العينات الصلبة ومن خلال الجدول (2) والشكل(12) نلاحظ ان النسبة المئوية للكادميوم 7.3 وللأوكسجين 37.6 وهذا دليل آخر على وجود أوكسيد الكادميوم بالإضافة الى دليل فحوصات XRD .  
جدول (2) النسب المئوية للعناصر داخل الغشاء المحضر

Weight % Error	Weight %	Atomic % Error	Atomic %	Element
0.5	35.9	0.7	52.5	O
0.1	8.1	0.1	8.3	Na
0.2	39.7	0.2	33.1	Si
0.1	7.3	0.1	4.3	Ca
0.3	8.9	0.1	1.9	Cd



شكل(12): منحنيات النسب المئوية للعناصر داخل الغشاء المحضر

### 4. الاستنتاجات

من خلال دراستنا للخصائص البصرية والتركيبيّة للأغشية المحضر، لوحظ أن قيم الامتصاصية والانعكاسية كدالة للطيف الموجي تقل بزيادة زمن التشعيع بأشعة UV ، كما ودل التحليل الطيفي UV – Vis لهذه الأغشية ان الانتقال الإلكتروني للمادة هو من النوع المباشر وأن زيادة التشعيع يؤدي إلى نقصان في قيم بعض الثوابت البصرية (معامل الامتصاص ، ومعامل الخمود ، ومعامل الانكسار) كدالة للطيف الموجي ، ومن القياسات البصرية نلاحظ ان فحوة الطاقة البصرية للانتقادات المباشرة المسموحة تقل بزيادة زمن التشعيع اذ تراوحت من 0.511-2.458(eV) (hr) 5-0 (hr) بزياة تتبعية 1hr على التوالي وكما هو موضح في الشكل 9 أعلاه ، ومن خلال قياسات XRD نتبين ان هناك إزاحة في زاوية الحيدون نحو الزيادة ولكنها طفيفة، اما من خلال قياسات SEM يتضح ان معدل حجم الجسيمات 25.66 اما فيما يخص أوكسيد الكادميوم اذ ان النسبة المئوية لعنصر الكادميوم هي 7.3 في حين ان النسبة المئوية لعنصر الأوكسجين هي 37.6 وهذا موضح في الشكل 12 .

### Thanks and appreciation

The researchers would like to thank the Deanship of the College of Education for Pure Sciences, Department of Physics, University of Mosul for preparing the supplies required to conduct the research

### 5. References

- [1] O. I. Olusola , O. K. Echendu , I. M. Dharmadasa, "Development of CdSe thin films for application in electronic devices", *Journal of Materials Science: Materials in Electronics*, Volume 26, pages 1066–1076, (2015), DOI [10.1007/s10854-014-2506-x](https://doi.org/10.1007/s10854-014-2506-x)
- [2] P. Pramanik, S. Bhattacharya and P. K. Basu,"A solution growth technique for the deposition of cobalt selenide thin film" *Thin Solid Films*, Volume 149, Issue 3,1987, P L81-L84. [https://doi.org/10.1016/0040-6090\(87\)90401-9](https://doi.org/10.1016/0040-6090(87)90401-9)
- [3] P. K. Basu and P. Pramanik, J. Mater. Sci. Lett." Solution growth technique for the deposition of cobalt sulphide thin film" *Journal of Materials Science Letters*, Vol 5, p 1216–1218, 1986.
- [4] P. Pramanik and S. Biswas, J." Deposition of Zinc Selenide Thin Films by Solution Growth Technique". *Journal of The Electrochemical Society*, Vol133, No. 2, 133 (1986) 350. DOI [10.1149/1.2108575](https://doi.org/10.1149/1.2108575).
- [5] P. Pramanik, M. A. Arther and P. K. Basu," A solution growth technique for the deposition of manganese sulphide thin film" *Thin Solid Films*, Vol 158, Iss 2, 1988, P271-275 158. 271.1988, [https://doi.org/10.1016/0040-6090\(88\)90030-2](https://doi.org/10.1016/0040-6090(88)90030-2).
- [6] P. Pramanik, P. K. Basu and S. Biswas," Preparation and characterization of chemically deposited tin(II) sulphide thin films" *Thin Solid Films*, Vol150, Iss 2–3, P 269-276, 1987, [https://doi.org/10.1016/0040-6090\(87\)90099-X](https://doi.org/10.1016/0040-6090(87)90099-X).
- [7] A. J. Varkey, " Chemical bath deposition of Cu<sub>x</sub>S thin films using ethylenediaminetetraacetic acid (EDTA) as complexing agent" *Solar Energy Materials*,Vol19, Iss 6, P 415-420,1989, [https://doi.org/10.1016/0165-1633\(89\)90036-1](https://doi.org/10.1016/0165-1633(89)90036-1).

- [8] A. J. Varkey, J. " Deposition of silver sulphide thin films by solution growth using a thiosulphate complexing agent" *Solar Energy Materials*, Vol 21, Iss 4, P 291-296,1991, [https://doi.org/10.1016/0165-1633\(91\)90027-I](https://doi.org/10.1016/0165-1633(91)90027-I).
- [9]Vasilis Fthenakis.(2009). Sustainability of photovoltaics: The case for thin-film solar cells. *Renewable and Sustainable Energy Reviews*. 13 (9): 2746-2750. <https://doi.org/10.1016/j.rser.2009.05.001>.
- [10]Hamzeh Jamali.(2019). Investigation and review of mirrors reflectance in parabolic trough solar collectors (PTSCs).*Energy Reports*. 5, 145-158. <https://doi.org/10.1016/j.egyr.2019.01.006>.
- [11] A. J. Varkey and A. F. Fort, J." Some optical properties of silver peroxide (AgO) and silver oxide (Ag<sub>2</sub>O) films produced by chemical-bath deposition" *Solar Energy Materials and Solar Cells*, Vol 29, Iss 3,P 253-259,1993, [https://doi.org/10.1016/0927-0248\(93\)90040-A](https://doi.org/10.1016/0927-0248(93)90040-A).
- [12] A.J. Varkey and A. F. Fort, J. " Transparent conducting cadmium oxide thin films prepared by a solution growth technique " *Thin Solid Films* ,Vol 239, Iss 2, P 211-213, 1994, [https://doi.org/10.1016/0040-6090\(94\)90853-2](https://doi.org/10.1016/0040-6090(94)90853-2).
- [14] Gulion, G . Tabbi, CdO thin film : a study of their electronic structure by electron spin resonance spectroscopy , *Applied Surface Science*, Vol 245, Iss 1-4, P 322-327, 2005, <https://doi.org/10.1016/j.apsusc.2004.10.026>.
- [15] S.M. Sze, " Physics of semiconductor Devices ", John Wiley and sons New York , (1981).
- [16] I.V Pollet, J.G Pieters, R Verschoore," Impact of water drops on the visible radiation transmittance of glazings under outside radiant conditions", *Solar Energy*. Vol 73, Iss5,P 327-335,2002, [https://doi.org/10.1016/S0038-092X\(02\)00118-4](https://doi.org/10.1016/S0038-092X(02)00118-4).
- [17] T. L. Chu and S. S. Chu , " Degenerate Cadmium Oxide Films for Electronic Devices " , *Journal of Electronic Materials* , Volume 19, pages 1003–1005, (1990).
- [18] Raghad Rahman Mahdi, Sameer Atta Makki,"Synthesis and Properties of Cadmium Oxide Thin Films Prepared By Simple Chemical Method" *Energy Procedia*, Vol157, P 261-269, 2019, <https://doi.org/10.1016/j.egypro.2018.11.189>.
- [19] Mark K. Debe, "Tutorial on the Fundamental Characteristics and Practical Properties of Nanostructured Thin Film (NSTF) Catalysts", *Journal of The Electrochemical Society*, 160 (6) F522-F534, 2013, DOI: 10.1149/2.049306jes.
- [20] Parthasarathy Saravanan, Vinod K. Singh,"An efficient method for acylation reactions" ,*Tetrahedron Letters*, Vol40, Iss 13, P 2611-2614,1999, [https://doi.org/10.1016/S0040-4039\(99\)00229-4](https://doi.org/10.1016/S0040-4039(99)00229-4).
- [21] R. Ghosh, S.Maiti and A. Chakraborty , " Facile catalyzed acylation of alcohols, phenols, amines and thiols based on ZrOCl<sub>2</sub>·8H<sub>2</sub>O and acetyl chloride in solution and in solvent-free conditions", *Tetrahedron Letters* ,Vol 46, Iss 1, P 147-151,2005, <https://doi.org/10.1016/j.tetlet.2004.10.164>.
- [22] D.H . Cho, J.G. Kim and D.O. Jang , Bull. Korean , Chem., Soc., 117, (1995): 4413.
- [23] V. singh , V. Sapehiyaia and G.L. Lee, Bull. Korean "Facile and Efficient Method for the Acetylation of Alcohols under Microwave Irradiation", *Bulletin of the Korean Chemical Society*, Vol 25,Iss9, P. 1295.2004, <https://doi.org/10.5012/bkcs.2004.25.9.1295>.
- [24] C.J. Diliegros- Godines et al., "Structure , electrical and optical properties of tin doped cadmium oxide thin films obtained by sol-Gel"*Journal of Sol-Gel Science and Technology*, Vol70, p 500–505, 2014.
- [25] M.A Rahman, M.K.R.Khan, Effect of annealing temperature on structural , electrical and optical properties of spray pyrolytic.nanocrystalline CdO thin films, *Materials science in semiconductor processing* . 24 (2014): 26-33.<https://doi.org/10.1016/j.mssp.2014.03.002>
- [26] Tadjarodi, M. Imani , "Synthesis and characterization of CdO nanocrystalline structure by mechanochemical method" *Materials Letters*, Vol 65, Iss 6, P1025-1027,2011, <https://doi.org/10.1016/j.matlet.2010.12.054>.
- [27]H. Mohammad, A. Rassol, H. Mekkilf, and H. Sahib, "Study the Structural , Optical and Electrical Conductivity Properties of Copper Oxide Thin Films Prepared by Chemical Bath Deposition," *Iraqi J. Sci. Technol.*, vol. 2, no. 6, pp. 1–10, 2016.
- [28]K. N. Tu, Rosenberg , " Preparation And Properties of Thin Films", Academic Press, New York, 1982.
- [29]F.Dagdelen, Z. Serbetci, R. K. Gupta, and F. Yakuphanoglu, "Preparation of nanostructured Bi-doped CdO thin films by sol-gel spin coating method" *Mater. Lett.*, vol. 80, pp. 127–130, 2012. <https://doi.org/10.1016/j.matlet.2012.04.087>.
- [30]W. Kitteland E. A. De Wolf ."Soft multihadron dynamics". World Scientific. 2005.
- [31]J.Tauc, R.,Grigorvici, A.Vancu,."Optical properties and electronic structure of amorphous germanium". *Phys. Status solidi B*. Vol. 15, pp.627–637. 1966.[doi.org/10.1002/pssb.19660156224](https://doi.org/10.1002/pssb.19660156224).
- [32]E.Weingartner, H.Saatho, M., Schnaiter, et al., "Absorption of light by sootParticles: determination of the absorption coefficient by means of aethalometers". *Aerosol Sci.* Vol.34, pp.1445–1463. 2003.[doi.org/10.1016/S0021-8502\(03\)00359-8](https://doi.org/10.1016/S0021-8502(03)00359-8).
- [33]A. Kurt, "Influence of AlCl<sub>3</sub> on the optical properties of new synthesized 3-armed Poly(methyl methacrylate)film". *Turk. J. Chem.* Vol. 34, pp.67–79. 2010.[doi.org/10.3906/kim-0903-29](https://doi.org/10.3906/kim-0903-29).
- [34]M.D. Migahed, and H.M., Zidan, " Influence of UV-irradiation on the structure and optical properties of polycarbonate films". *Current Applied Physics*, 6(1), pp.91-96. 2006. [doi:10.1016/j.cap.2004.12.009](https://doi.org/10.1016/j.cap.2004.12.009).

[35] R. Kumaravel, K. Ramamurthi, Indra Sulania, K. Asokan, D. Kanjilal, D.K. Avasti, P.K. Kulria,"Effect of swift heavy ion irradiation on structural, optical and electrical properties of spray deposited CdO thin films", *Radiation Physics and Chemistry*. 3(80), 2011,435-439. <https://doi.org/10.1016/j.radphyschem.2010.09.013>

## دراسة تأثير التشعيع على بعض الخصائص البصرية لأغشية أوكسيد الكادميوم المحضره بطريقة الرش الكيميائي الحراري

محمد صالح سنجار<sup>(1)</sup>, مشتاق عبد داود الجبوري<sup>(2)</sup> ، حنان حسن الجديري<sup>(3)</sup>

<sup>(1,2)</sup> قسم الفيزياء، كلية التربية للعلوم الصرفة، جامعة الموصل، الموصل، العراق

<sup>(3)</sup> قسم الفيزياء، كلية العلوم، جامعة الزاوية، الزاوية، ليبيا

### الخلاصة

في هذه الدراسة تم تحضير أغشية رقيقة من أوكسيد الكادميوم ( $CdO$ ) باستخدام طريقة التحلل الحراري الكيميائي. تم ترسيب الغشاء على ركيزة زجاجية ببعد  $2.5cm \times 2.5cm \times 1mm$  (2.5cm × 2.5cm × 1mm) وعند درجة حرارة  $(400^{\circ}C)$  بضغط (2) بار. تم إجراء ما مجموعه 20 عملية رش، حيث استمرت كل رشة حوالي 10s، وفاصل زمني 180s بين الرشات. تم إنشاء نظام تحلل كيميائي مخصص لتسهيل تحضير مواد الأغشية الرقيقة لهذا البحث. بعد ذلك، تم تعريض الأغشية المحضره للأشعة فوق البنفسجية UV لمدة خمس ساعات، مع استمرار كل جلسة تشعيع لمدة ساعة واحدة. تم تسجيل أطياف الامتصاص والنفاذية بعد كل ساعة من التشعيع عبر نطاق الطول الموجي 350-950nm (UV-VIS Double Beam Spectrophotometer). أشارت النتائج إلى أن الامتصاصية تختلف باختلاف الطول الموجي، حيث يتراقص طيف الامتصاص مع زيادة زمن التشعيع ليصل إلى الحد الأدنى في نهاية الساعة الخامسة. على العكس من ذلك، اظهرت النفاذية زيادة مباشرة مع فترات تشعيع أطول. بالإضافة إلى ذلك، لوحظ أن فجوة الطاقة تتراقص مع زيادة زمن التشعيع، التي تتراوح من 2.458eV إلى 2.511eV خلال فترة من 0-5hr، مع إجراء القياسات على فترات زمنية منها ساعة واحدة. أظهر تحليل بعض الثوابت الضوئية انخفاض معامل الامتصاص ومعامل الخود ومعامل الانكسار مع زيادة زمن التشعيع.